

# SPRAWOZDANIE - LABORATORIUM NR 14

## Generowanie ciągu liczb pseudolosowych o rozkładzie jednorodnym w kuli 3D.

Damian Płóciennik

5 czerwca 2019

### 1 Wstęp teoretyczny

#### 1.1 Generatory liniowe

Generatory liniowe tworzą ciąg liczb według schematu:

$$X_{n+1} = (a_1 X_n + a_2 X_{n-1} + \dots + a_k X_{n-k+1} + c) \mod m, \quad (1)$$

gdzie  $a_1, \dots, a_k, c$  nazywamy parametrami generatora (są to ustalone liczby).

Operację

$$r = (a \mod n) \quad (2)$$

nazywamy dzieleniem modulo, której wynikiem jest reszta z dzielenia liczb całkowitych  $a$  i  $n$ .

Do poprawnego działania generatora konieczne jest zdefiniowanie parametrów, między innymi tak zwanego ziarna:

$$X_0, X_1, X_2, \dots, X_k, \quad (3)$$

które daje początek generatorowi, a otrzymane może być na przykład korzystając z innego generatora lub zegara systemowego.

$$X_0, X_1, X_2, \dots, X_k \quad (4)$$

Najprostsze generatory liniowe można podzielić na multiplikatywne dla  $c = 0$  lub mieszane dla  $c \neq 0$ .

#### 1.2 Generator multiplikatywny

Generatorem multiplikatywnym nazywa się generator liniowy dla  $c = 0$ , taki że:

$$X_{i+1} = aX_{i-1} \mod m, \quad (5)$$

$$k_i = \left\lfloor \frac{aX_{i-1}}{m} \right\rfloor, \quad i \geq 1, \quad (6)$$

$$\begin{aligned} X_1 &= aX_0 - mk_1, \\ X_2 &= a^2X_0 - mk_2 - mk_1a, \\ X_3 &= a^3X_0 - mk_3 - mk_2a - mk_1a^2, \\ &\dots \\ X_n &= a^nX_0 - m(k_n + k_{n-1}a + \dots + k_1a^{n-1}), \end{aligned} \quad (7)$$

co można zapisać w postaci:

$$X_n = a^nX_0 \mod m, \quad (8)$$

skąd wynika, że wybór  $X_0$  determinuje wszystkie liczby w generowanym ciągu (a i m są ustalone) – uzyskany ciąg liczb jest deterministyczny.

Okres generatora multiplikatywnego określa wzór:

$$T = \min\{i : X_i = X_0, \quad i > 0\}. \quad (9)$$

Maksymalny możliwy okres takiego generatora można uzyskać dla:

$$a^{(m-1)/p} \not\equiv 1 \pmod{m}, \quad (10)$$

gdzie  $m$  jest liczbą pierwszą,  $p$  czynnikiem pierwszym liczby  $(m-1)$ . W praktyce wykorzystujemy więc często liczby Mersenne’a, które bardzo często okazują się być pierwsze ( $m = 2^p - 1$ ).

Wadą takich generatorów jest nierównomierne pokrycie d-wymiarowej kostki, ponieważ generowane liczby lokalizują się na hiperpłaszczyznach, których położenie uzależnione jest od parametrów generatora.

### 1.3 Metoda Boxa-Mullera

Zdefiniowano fgp w 2D jako funkcję gaussowską:

$$f(x, y) = f(x) \cdot f(y) = e^{-\frac{x^2+y^2}{2}}, \quad x, y \in (-\infty, \infty). \quad (11)$$

Celem jest policzenie prawdopodobieństwa:

$$p(x, y) = f(x, y) dx dy. \quad (12)$$

W tym celu wprowadzano nowe zmienne:

$$\begin{aligned} r^2 &= x^2 + y^2, \\ x &= r \cos(\theta) \quad r \in [0, \infty), \\ y &= r \sin(\theta) \quad \theta \in [0, 2\pi], \\ p &= f(x, y) dx dy = f(r, \theta) r dr d\theta, \\ p(r, \theta) &= r \cdot e^{-r^2/2} dr d\theta, \\ z &= \frac{r^2}{2} \rightarrow dz = r dr \quad z \in [0, \infty), \\ p(z, \theta) &= e^{-z} dz \cdot d\theta. \end{aligned} \quad (13)$$

Otrzymano rozkład wykładniczy:

$$\begin{aligned} f(z) &= e^{-z}, \\ z &= -\ln(1 - U_1), \quad U_1 \in (0, 1), \\ r &= \sqrt{2z}. \end{aligned} \quad (14)$$

Kąt  $\theta$  ma rozkład jednorodny, więc użyto generatora o rozkładzie jednorodnym:

$$\theta = U_2 \cdot 2\pi, \quad U_2 \in (0, 1). \quad (15)$$

Dla pary  $(U_1, U_2)$  dostajemy  $(x, y)$  z rozkładu  $N(0, 1)$ :

$$x = r \cos(\theta) = \sqrt{-2 \ln(1 - U_1)} \cos(2\pi U_2), \quad (16)$$

$$y = r \sin(\theta) = \sqrt{-2 \ln(1 - U_1)} \sin(2\pi U_2). \quad (17)$$

## 2 Zadanie do wykonania

### 2.1 Opis problemu

Na początku przeanalizowano działanie trzech multiplikatywnych generatorów liczb pseudolosowych o rozkładzie jednorodnym. Dla dwóch pierwszych przypadków przyjęto:

$$X_i = a X_{i-1} \mod m, \quad (18)$$

których wyjście było normowane:

$$x_i = \frac{X_i}{m + 1.0}. \quad (19)$$

Przyjęto:

- $U_1(0, 1) : a = 17, m = 2^{13} - 1, X_0 = 10,$
- $U_2(0, 1) : a = 85, m = 2^{13} - 1, X_0 = 10.$

W ostatnim przypadku skorzystano z generatora multiplikatywnego opisanego wzorem:

$$X_i = (1176 \cdot X_{i-1} + 1476 \cdot X_{i-2} + 1776 \cdot X_{i-3}) \mod (2^{32} - 5) \quad (20)$$

dla przyjętego parametru startowego  $X_0 = X_{-1} = X_{-2} = 10$ .

Dla każdego z przypadków wylosowano 2000 liczb pseudolosowych i sporządzono dwuwymiarowe wykresy kolejnych par:  $(x_i, x_{i+1}), (x_i, x_{i+2}), (x_i, x_{i+3})$ .

Następnie przy pomocy metody Boxa-Mullera utworzono  $N = 2000$  wektorów o rozkładzie normalnym, które znajdowały się na powierzchni sfery:

$$x_i = \sqrt{-2 \ln(1 - u_1)} \cos(2\pi u_2), \quad (21)$$

$$y_i = \sqrt{-2 \ln(1 - u_1)} \sin(2\pi u_2), \quad (22)$$

$$z_i = \sqrt{-2 \ln(1 - u_3)} \cos(2\pi u_4), \quad (23)$$

$$u_1, u_2, u_3, u_4 \in U_3(0, 1), \quad (24)$$

a następnie każdy z nich znormalizowano do jedynki z zastosowaniem normy euklidesowej:

$$\vec{r}_i \leftarrow \frac{\vec{r}_i}{\|\vec{r}_i\|_2}. \quad (25)$$

Z wykorzystaniem zmiennej o rozkładzie wielomianowym rozłożono punkty równomiernie w kuli, stosując:

$$u_i \in U_3(0, 1), \quad (26)$$

$$s_i = (u_i)^{\frac{1}{d}}, \quad (27)$$

$$\vec{r}_i = [s_i \cdot x_i, s_i \cdot y_i, s_i \cdot z_i]. \quad (28)$$

Dla obu przypadków sporządzono wykresy 3D.

Na koniec sprawdzono, czy rozkład punktów w kuli jest jednorodny, tj. czy gęstość losowanych punktów jest stała w obszarze kul. W tym celu podzielono promień kuli na  $K = 10$  podprzedziałów o równej długości, a następnie dla każdego punktu określono jego przynależność do konkretnego przedziału:

$$j = (\text{int})\left(\frac{\|\vec{r}_i\|_2}{\Delta}\right) + 1, \quad j = 1, 2, \dots, K \quad \Delta = \frac{1}{K}. \quad (29)$$

Objętość obliczano zgodnie ze wzorem:

$$R_j = \Delta \cdot j, \quad (30)$$

$$R_{j-1} = \Delta \cdot (j - 1), \quad (31)$$

$$V_j = \frac{4}{3}\pi R_j^3, \quad (32)$$

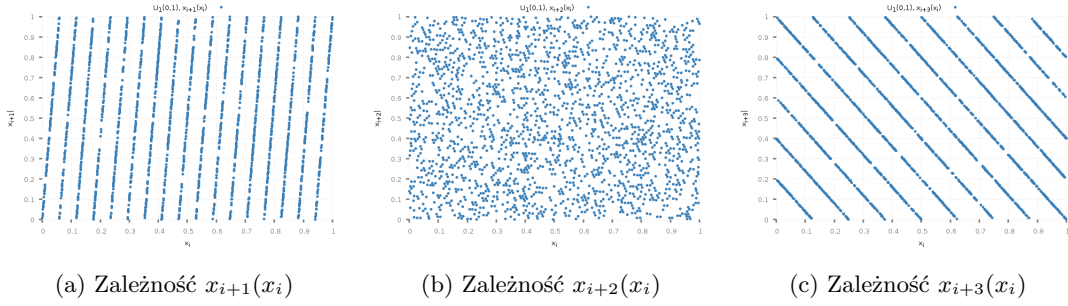
$$V_{j-1} = \frac{4}{3}\pi R_{j-1}^3, \quad (33)$$

$$g_j = \frac{n_j}{V_j - V_{j-1}}. \quad (34)$$

Obliczenia wykonano kolejno dla  $N = 2000, 10^4$  oraz  $10^7$  punktów.

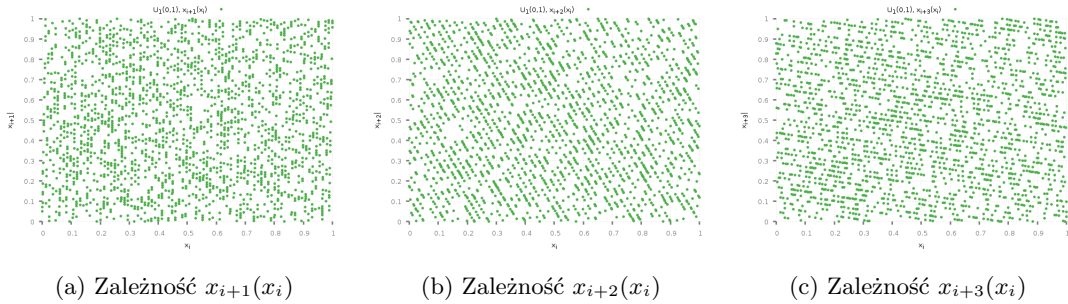
## 2.2 Wyniki

W celu wykonania zadania napisano program w języku C.



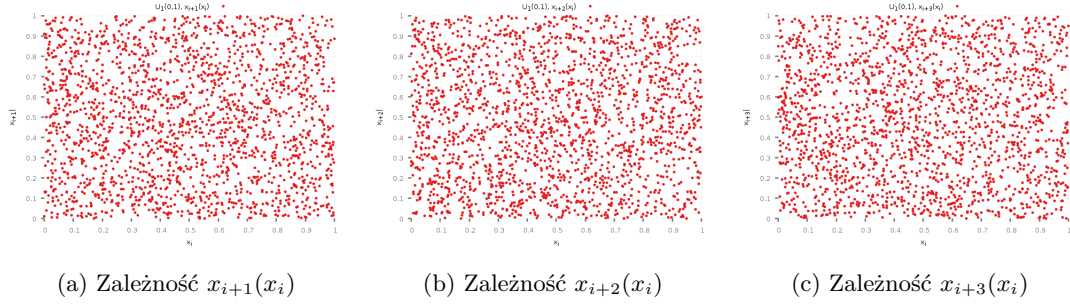
Rysunek 1: Zależność par kolejnych liczb pseudolosowych dla rozkładu jednorodnego  $U_1(0, 1)$

Jak wydać na powyższych wykresach pierwszy generator pozwolił na uzyskanie liczb pseudolosowych, jednak dość małe parametry  $m$  i  $a$  spowodowały dość dużą zależność par kolejnych liczb pseudolosowych, co widać szczególnie na wykresach (a) i (c). Łatwo dostrzec również występującą okresowość generatora. Punkty układające się w siatki mogą świadczyć o tym, że nie jest to dobry generator.



Rysunek 2: Zależność par kolejnych liczb pseudolosowych dla rozkładu jednorodnego  $U_2(0, 1)$

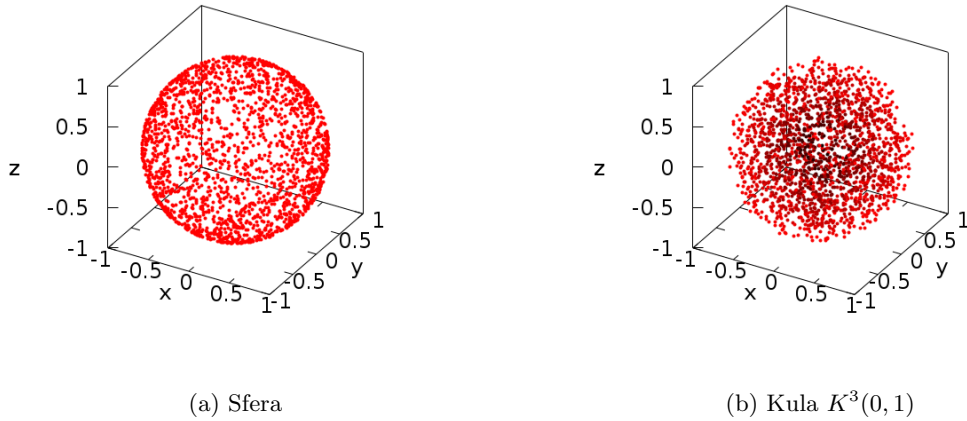
Generator, którego wyniki działania przedstawiono na powyższych wykresach, różni od poprzedniego wyłącznie zwiększonym parametrem  $a$ . Łatwo zauważyć, tak jak w poprzednim przypadku, silną korelację elementów oraz okresowość otrzymywanych ciągów. W wyniku zmiany owego parametru punkty pokrywają teraz większą część płaszczyzny, jednak nadal takiego generatora nie można nazwać dobrym.



Rysunek 3: Zależność par kolejnych liczb pseudolosowych dla rozkładu jednorodnego  $U_3(0, 1)$

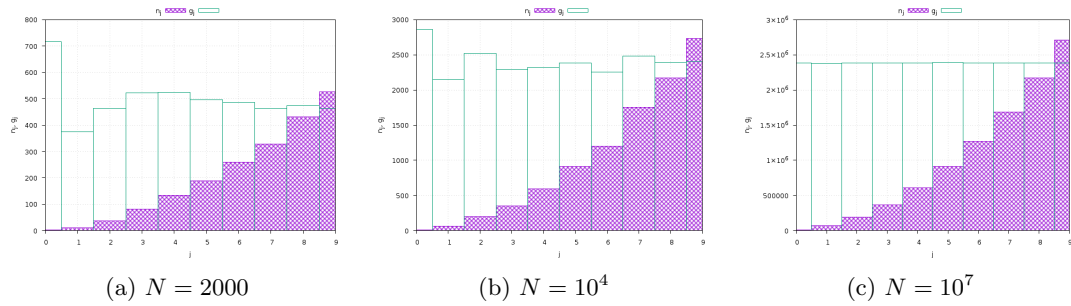
Ostatni z badanych generatorów jako jedyny bazował na zmienionym ziarnie, składającym się z trzech elementów. Ustawiono również dość duże wartości parametrów  $a_1, a_2, a_3$  oraz zwiększono zdecydowanie czynnik związany z dzieleniem modulo. W tym przypadku na wykresach ciężko dostrzec jakąkolwiek korelację pomiędzy elementami, co świadczy o tym, że taki generator można uznać za dobry.

Kolejno przy pomocy metody Boxa-Mullera wylosowano 2000 punktów tworzących sferę wpisaną w sześcian, którego każda współrzędna mieściła się między -1 a 1, a następnie przy pomocy zmiennej o rozkładzie wielomianowym punkty rozłożono równomiernie wewnątrz kuli.



Rysunek 4: Rozkład wylosowanych punktów w trzech wymiarach dla (b) kuli o promieniu  $r = 1$  oraz (a) sfery wokół niej. Na wykresie (b): im ciemniejszy kolor punktu, tym bliżej środka układu współrzędnych  $(0, 0, 0)$ .

Następnie w celu stwierdzenia, czy rozkład punktów w kuli jest jednorodny (tj. czy gęstość losowanych punktów jest stała w obszarze kuli), podzielono promień kuli na  $K = 10$  podprzedziałów o równej długości i dla każdego punktu określono jego przynależność do konkretnego przedziału. Efekty zostały zaprezentowane na poniższych histogramach.



Rysunek 5: Histogramy dla rozkładu jednorodnego w trójwymiarowej kuli  $K^3(0,1)$ ;  $n_j$  - liczba wylosowanych punktów znajdujących się w  $j$ -tym podzbiorze (warstwie kuli utworzonej przez równy podział względem promienia),  $g_j$  - gęstość wylosowanych punktów, tj.  $n_j$  dzielone przez objętość  $j$ -tego podzbioru kuli. Wykresy różnią się liczbą wygenerowanych punktów  $N$ .

Łatwo zauważyć, że dla dużej ilości wylosowanych punktów gęstość jest praktycznie stała. Dla  $N = 2000$  widzimy już wyraźne odchylenia, zwłaszcza znacznie większą gęstość w pierwszym przedziale. Można zatem stwierdzić, że w przypadku dużej liczby losowań rozkład punktów w kuli jest jednorodny.

### 3 Wnioski

Zaletą generatorów liniowych jest przede wszystkim prostota, ale również szybkość jego działania i implementacji. Przy odpowiednim doborze parametrów można uzyskać rozkład, który faktycznie wygląda na losowy. Należy jednak nie zapominać, że liczby uzyskane w ten sposób nigdy nie będą w pełni losowe, a jedynie pseudolosowe. Ciągi generowanych w tym ćwiczeniu liczb układają się na hiperpłaszczyznach, aby tego uniknąć należałoby zastosować generatory nieliniowe, które mogą wykorzystywać na przykład odwrotność modulo.

### 4 Bibliografia

- Chwiej Tomasz: Generatory liczb pseudolosowych. [online]. [dostęp: 10.06.2019]. Dostęp w Internecie: [http://galaxy.agh.edu.pl/~chwiej/mn/generatory\\_1819.pdf](http://galaxy.agh.edu.pl/~chwiej/mn/generatory_1819.pdf)